

☆ geodesiche : 1<sup>a</sup> definizione

Lezione X

Def. geodesiche  $\equiv$  curve autoparallele, ovvero tali che il loro vettore velocità sia parallelo se si muove

Prendendo  $(v^j) = (\dot{u}^j)$  nell'equazione precedente, si ha ..

$$\ddot{u}^r + \dot{u}^i \dot{u}^j \Gamma_{ij}^r = 0$$

equazione delle geodesiche

$r = 1, 2$

☆ Le geodesiche sono curve parametriche (l'equazione delle geodesiche non è invariante su cambiamento di parametro)



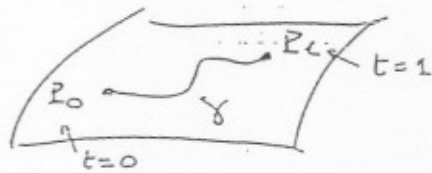
☆ geodesiche : 2<sup>a</sup> definizione

L'equazione delle geodesiche può derivarsi a partire da due principi variazionali

$L_1 = \frac{1}{2} g_{ij} \dot{u}^i \dot{u}^j$  : energia cinetica  
lagrangiana : di una particella  
 $g_{ij} = g_{ij}(x, v)$  di massa  $m = 1$  che si muove liberamente su  $\Sigma$

(in generale  $L = T - V$ )

en. cinetica - en. potenziale



$$L_1 = L_1(\dot{q}^i, q^i)$$

☆  $S(\gamma) := \int_0^1 \frac{1}{2} g_{ij} \dot{u}^i \dot{u}^j dt$

azione

Fatto  $\star$  Le equazioni delle geodetiche

sono le equazioni di Leibniz-Lagrange  
 ottenute da  $\delta$  tramite il principio di azione  
stazionaria

[ Ricordiamo  $\delta S = 0$  ,  $S = \int_0^1 L(q, \dot{q}) dt$

$\Rightarrow$   $\frac{\partial L}{\partial q^j} = \frac{d}{dt} \frac{\partial L}{\partial \dot{q}^j}$  equazione di Lagrange

||  $p_i = g_{ij} \dot{q}^j$

$f_i = \dot{p}_i$  eq. di Newton

(se  $L = T - V$   $\frac{\partial L}{\partial q} = -\frac{\partial V}{\partial q}$ ) ]  
 T(q)

Sia ora  $L_2 = L_1^{\frac{1}{2}}$  S = lunghezza ( $\bar{x}$   
 map dal parametro)

si trova...

$$\frac{d}{dt} \frac{g_{kj} \dot{q}^j}{\sqrt{g_{ij} \dot{q}^i \dot{q}^j}} = \frac{\frac{\partial g_{ij}}{\partial x^k} \dot{q}^i \dot{q}^j}{2 \sqrt{g_{ij} \dot{q}^i \dot{q}^j}}$$

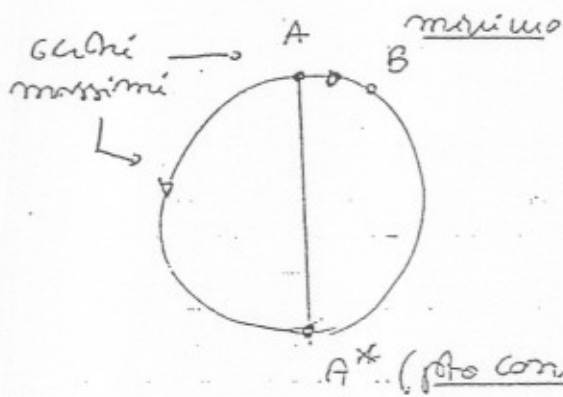
Se  $t \in S$  (asissa curvilinea) , ovvero  $\sqrt{g_{ij} \dot{q}^i \dot{q}^j} = \text{cost}$

si ha  $\frac{d}{dt} \underbrace{g_{kj} \dot{q}^j}_{p_k} = \frac{1}{2} \frac{\partial g_{ij}}{\partial x^k} \dot{q}^i \dot{q}^j$

... cioè la stessa eq. di prima , come si verifica  
 con qualche calcolo, nonché l'eq. di autoparallelismo  
 (eq. geodetica)

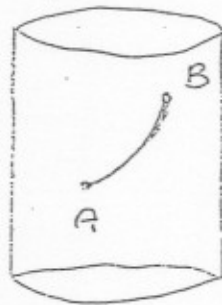
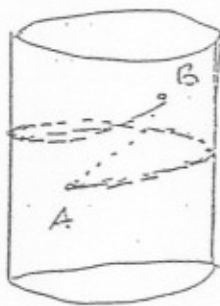
=> "Le geodetiche, associate con un parametro naturale sono cammini critici del funzionale lunghezza"

[ ★ Attenzione! una geodetica non è teoricamente il cammino di lunghezza minima



$\widehat{AB}$  minimo  
 $\widehat{AA^*B}$  non è minimo.

Altro esempio

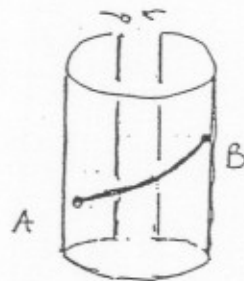
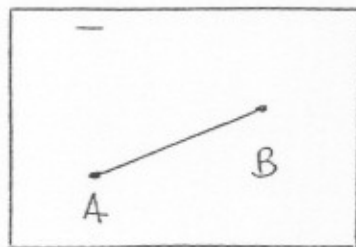


minimo

[ cilindro: geodetiche = elicoidali ... ]  
 (vedi figura...)

[ ... si confronta ciò col principio di Maupertuis ...

$$S = \int \sqrt{E - V(x)} ds \dots$$



★ geodetiche . 3<sup>a</sup> definizione

(approccio "estricco")

Problema: definire una quantità per curve su  $\Sigma$  in  $P$ . In termini la definizione dalla geodeticità

Soluzione Proiettare  $\Sigma$  sul piano tangente a  $\Sigma$  in  $P$  e considerare la corrispondente curva piana  $\sigma'$ : si definisce curvatura geodetica  $\kappa_g(P)$  la curvatura di  $\sigma'$  in  $P$ .

★ geodetiche  $\equiv (\kappa_g \equiv 0)$  ...

Procediamo in questo modo:



sia  $\sigma$  descritta da  $s$ .  $\underline{r} = \underline{r}(s)$

sia  $\underline{v}(s)$  parallelo, e  $\|\underline{v}\| = 1$

★  $\cos \varphi = \langle \underline{v} | \underline{r}' \rangle$  ( $\|\underline{r}'\| = 1$ )

definiamo:

$$\kappa_g := \frac{d\varphi}{ds}$$

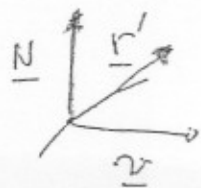


nel piano  
 $R = \frac{d\varphi}{ds}$   
direzione fissa

Deriviamo ★:  $-\varphi' \sin \varphi = \langle \underline{v}' | \underline{r}' \rangle + \langle \underline{v} | \underline{r}'' \rangle$

si ponga  $\sin \varphi = +1$  in un dato punto  $\varphi = 0$  per definizione di vett. parallelo  
( $\kappa_g$  non dipende dal vettore...)

$\frac{d\varphi}{ds} = -\varphi' = \langle \underline{r}'' | \underline{v} \rangle \Rightarrow \underline{v} = \underline{r}' \times \underline{N}$  ⚠



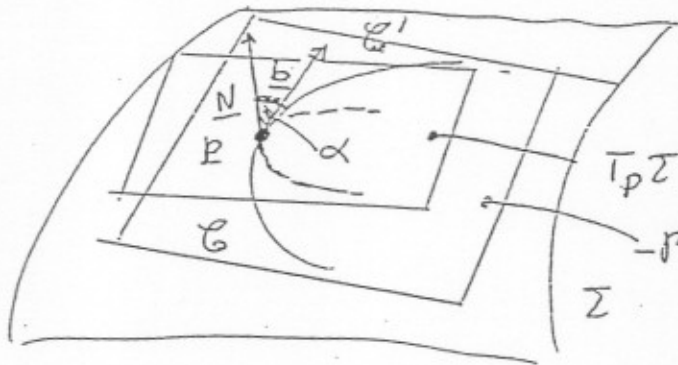
$\Rightarrow \kappa_g = -\langle \underline{v}, \underline{r}'' \rangle =$   
 $= -\langle \underline{r}' \times \underline{N}, \underline{r}'' \rangle = \langle \underline{r}', \underline{r}'' \times \underline{N} \rangle$

$$\Rightarrow R_g = \langle \underbrace{N}_{=} | \underbrace{t}_{=} \times \underbrace{n}_{=} \rangle R \equiv \cos \alpha R$$

$\Rightarrow$  curve ortogonali

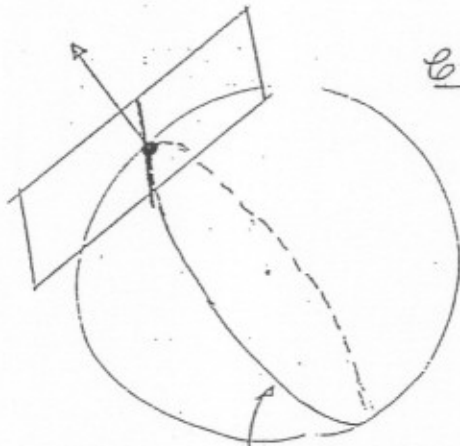
$$\equiv K_g = 0, \dots$$

reapreso l'ortogonalità  
originaria...



$\tau_{pZ}$  - primo osculatore di C in P

ex:



C' è una retta...

cerchio massimo

su una superficie  
di rotazione:

i meridiani sono  
geodetiche



★

Osservazione

$$R^2 \stackrel{z}{=} R_m^z + R_g^z$$

$\Rightarrow$



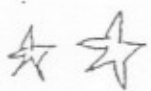
$$R = R_m \quad \text{e}$$

$$R_g = 0$$

i paralleli, in  
generale no  
ma v. oltre

questi paralleli  
così tracciano  
geodetiche

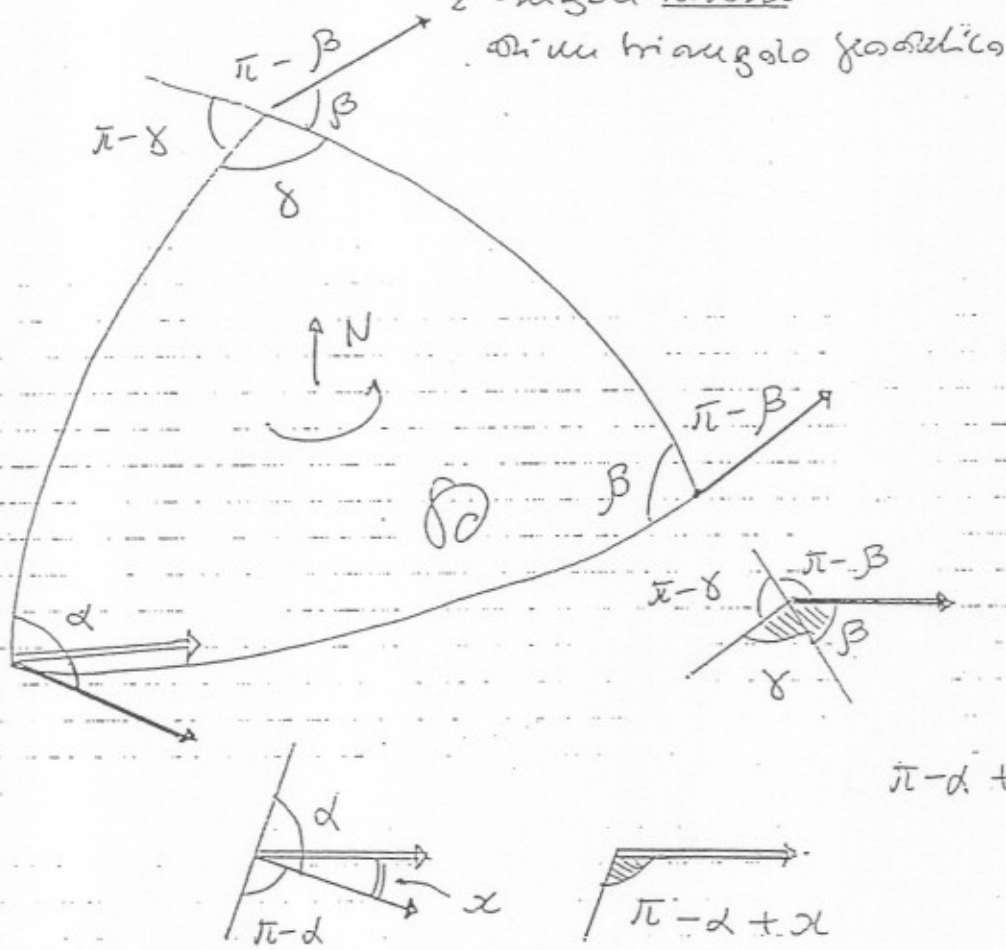




Formula di Gauss (- Bonnet)  
(per i triangoli geodetici)

$$\alpha + \beta + \gamma - \pi = \iint_{\mathcal{D}} K \, d\sigma$$

2 angoli retti  
di un triangolo geodetico



$$\pi - \alpha + \alpha = \gamma + \beta$$

Dimostrazione Si ottiene dalla formula di Serret-Antoine ... si ricorrendo che i triangoli sono geodetici e che il trasporto parallelo conserva gli angoli.

$$\alpha = \alpha + \beta + \gamma - \pi$$

||

$$\iint_{\mathcal{D}} K \, d\sigma$$

□

Applicandola ad una

Sfera, si ritrova la formula

di Harricot, Girard, Lancelotti ( $K = \frac{1}{R^2}$ )

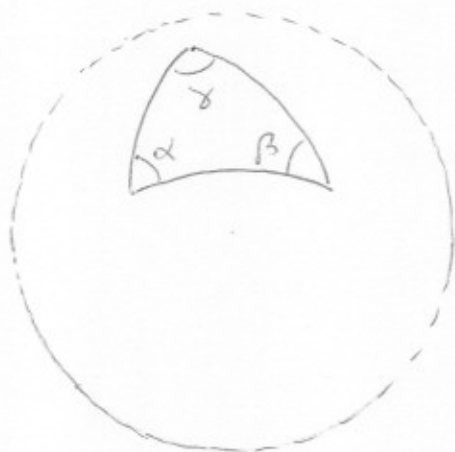
Area di un triangolo sferico  
(geodetico: i lati sono tratti da cerchi  
massimi)

\* ecceso sferico (Gauss)  
... geometria non euclidea

$$A = \alpha + \beta + \gamma - \pi (> 0)$$

X-6 !!

Applicazione : geometrie non euclidee \*\*\*



$$\alpha + \beta + \gamma > \pi$$

\* la somma degli angoli di un triangolo (geodetico) supera  $\pi$

triangolo geodetico

curvi massimi (modello identif.)

due pi curvi paralleli  $\equiv$  rette

\*\*\*  $\mathbb{R}P^2$

piano proiettivo reale : modello del piano ellittico

non vi sono "rette" parallele !!  
due curvi massimi si incontrano sempre.

\*\*\* piano di Lobachevski (ipربولico) : modello locale : pseudosfera di Beltrami

$$K = -1$$



triangolo geodetico

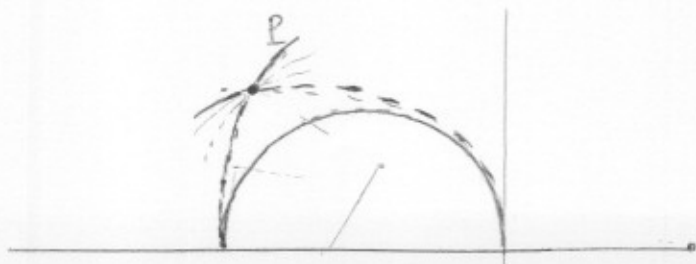
$$\alpha + \beta + \gamma < \pi$$

$$\alpha + \beta + \gamma - \pi = -A(\zeta)$$

area

non vi sono triangoli simili che non siano congruenti

infinito parallele per un punto interno ad una "retta" (i.e. geodetica) data



v. oltre per il calcolo delle geodetiche

# ★ ★ Teorema di Gauss - Bonnet

$\Sigma$  sup. (liscia), compatta, senza bordo

$(\Sigma, g)$

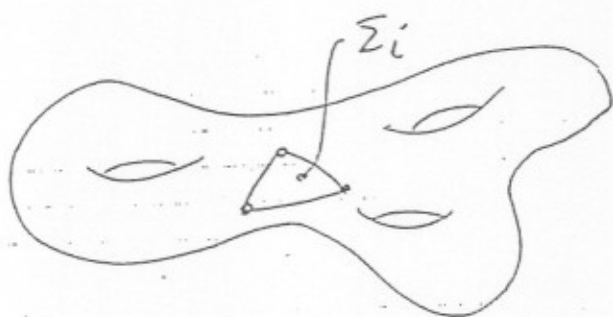
metrica  
Riemanniana...

$$\iint_{\Sigma} K d\sigma = 2\pi \chi(\Sigma) \quad (= 2 - 2g)$$

Caratteristica

di Eulero-Poincaré

$g = \#$   
"buchi"



$g$ : genere di  $\Sigma$

( $g = 3 \dots$ )

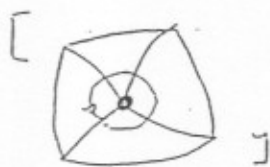
$\chi(\Sigma) = n_0 - n_1 + n_2$   
 invariante topologico  
 di una triangolazione di  $\Sigma$   
 # vertici # lati # triangoli (geodesici)  
 ! sarebbe da dimostrare

Dimostrazione Si deduce dalla formula precedente

$$\iint_{\Sigma} K d\sigma = \sum_{i=1}^{n_2} \iint_{\Sigma_i} K d\sigma = \sum_{i=1}^{n_2} (d_i + \beta_i + \gamma_i - \pi) =$$

triangoli...

$$= 2\pi n_0 - \pi n_2 = 2\pi \left( n_0 - \frac{n_2}{2} \right)$$



ora  $n_1 = \frac{3n_2}{2} \Rightarrow \chi(\Sigma) =$

$$= n_0 - \frac{3n_2}{2} + n_2$$

$\Rightarrow$  segue l'asserto  $\square$

$$= n_0 - \frac{n_2}{2}$$

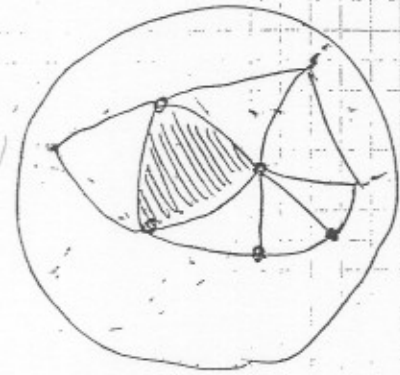


↳ Curiosità

★ La "dimostrazione" di Cauchy

di 
$$V - E + F = 2$$
  
di 
$$\begin{array}{ccc} \text{vertici} & \text{spigoli} & \text{facce} \end{array}$$

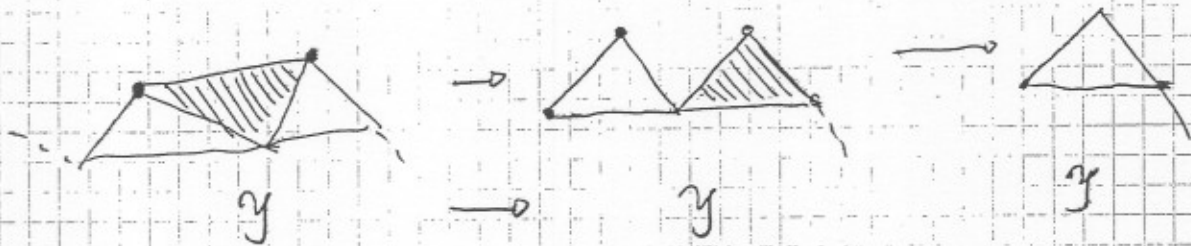
(per la sfera, o superficie omomorfa a questa) per una qualivolta triangolazione.



Sia  $V - E + F = x$

Diminuendo un triangolo, tale somma diventa  $y = x - 1$ . Proviamo che  $y = 1$

"Staccando" la superficie così ottenuta su di un piano, e togliendo ad uno ad uno i triangoli "partendo dall'esterno"



Ci si comincia parzialmente dal fatto che  $y$  non cambia. Si arriva all'ultimo triangolo, per il quale  $y = 1$  □

(Ma la faccenda è un po' più complicata...)

si veda I. Lakatos

"Dimostrazioni e Computazioni"

Feltrielli

# \* Determinazione delle geodetiche

\* Sfera : cerchi massimi (chiare dalla def. tramite  $Rg = 0$ ).

$(\vartheta, \varphi)$   $ds^2 = d\vartheta^2 + \sin^2 \vartheta d\varphi^2$

↑  
colatitudine  
||  
 $\vartheta$

x  
longitudine  
||  
 $\varphi$

$$(g_{ij}) = \begin{pmatrix} 1 & 0 \\ 0 & \sin^2 \vartheta \end{pmatrix}$$

$$(g^{ij}) = \frac{1}{\sin^2 \vartheta} \begin{pmatrix} \sin^2 \vartheta & 0 \\ 0 & 1 \end{pmatrix}$$

$$= \begin{pmatrix} 1 & 0 \\ 0 & \frac{1}{\sin^2 \vartheta} \end{pmatrix}$$

$$\Gamma_{22}^1 = -\frac{1}{2} \sin 2\vartheta$$

$$\Gamma_{12}^2 = \cotan \vartheta$$

(gli altri sono nulli...), si ha, per le geodetiche

$$\begin{cases} \vartheta'' - \frac{1}{2} (\varphi')^2 \sin 2\vartheta = 0 \\ \varphi'' + \varphi' \vartheta' \cotan \vartheta = 0 \end{cases}$$

si calcoli  $K = \dots + 1$

$\varphi = \text{cost}$   $\vartheta = \vartheta$  (meridiani) è certamente geodetica, prendendo come parametro la lunghezza d'arco). Per simmetria, tutti i cerchi massimi sono geodetiche, e una geodetica qualsiasi, essendo la sua direzione iniziale tangente ad un cerchio massimo, è necessariamente un cerchio massimo.

$ds^2 = g_{ij} dx^i dx^j$  metrica

$$\Gamma_{jk}^i = \frac{1}{2} g^{ih} (g_{kh,j} + g_{ih,k} - g_{jk,i})$$

simboli di Christoffel

matrice inversa di  $(g_{ij})$

↑

||  
 $\frac{\partial g_{kh}}{\partial x^j}$  etc...

\* geodetiche

$$\ddot{x}^i + \Gamma_{ku}^i \dot{x}^k \dot{x}^u = 0$$

$i=1, \dots, n$

tali formule hanno validità generale; si usa la convenzione di Einstein: somma su indici ripetuti

\* Variante, tramite le equazioni di Lagrange

[ si usa il calcolo dei simboli di Christoffel ]

$$g = dr^2 + \sin^2 r d\varphi^2$$

$$T = \frac{1}{2}(\dot{r}^2 + \sin^2 r \dot{\varphi}^2) \equiv L$$

"energia  
cinetica"

Nota: se  $t = s$   
 $\dot{r}^2 + \sin^2 r \dot{\varphi}^2 = a = \text{cost}$   
 $\dot{r}^2 + \frac{c^2}{\sin^2 r} = a$  (per (\*\*))  
 e allora, abbiamo  $a(\varphi), a$   
 integrare l'equazione

$$\frac{\partial L}{\partial r} = \sin r \cos r \dot{\varphi}^2$$

$$\Rightarrow \ddot{r} = \sin r \cos r \dot{\varphi}^2 \quad (*)$$

$$\frac{d}{dt} \left( \frac{\partial L}{\partial \dot{r}} \right) = \frac{d}{dt} (\dot{r}) = \ddot{r}$$

↓ tutto cruciale

ma  $\frac{\partial L}{\partial \varphi} = 0 \Rightarrow \frac{d}{dt} \left( \frac{\partial L}{\partial \dot{\varphi}} \right) = 0 \Rightarrow \frac{\partial L}{\partial \dot{\varphi}} = \text{cost.}$

(\*)  $\frac{\partial L}{\partial \dot{\varphi}} = \sin^2 r \dot{\varphi} = c$  (costante)  $r \notin \{0, \pi\} \dots$

ovvero, se  $c = 0$  è  $\dot{\varphi} = 0$ ,  $\varphi = \text{cost}$  (minimo)

e concluso come prima, per ragioni di simmetria

[ sostituendo in (\*), che di fatto non serve, i

$$\ddot{r} = \sin r \cos r \frac{c^2}{\sin^4 r} = \frac{\cos r c^2}{\sin^3 r} \dots ]$$

\* Piano (parabolico) (Lobachevski)

$$ds^2 = \frac{dx^2 + dy^2}{y^2} \quad y > 0$$

$$(g_{ij}) = \frac{1}{y^2} \begin{pmatrix} 1 & 0 \\ 0 & 1 \end{pmatrix} \quad (g^{ij}) = y^2 \begin{pmatrix} 1 & 0 \\ 0 & 1 \end{pmatrix}$$

$$\Gamma_{12}^1 = \frac{1}{y} \quad \Gamma_{11}^2 = -\frac{1}{y} \quad \Gamma_{22}^2 = \frac{1}{y}$$

si ha:

$$(*) \quad \begin{cases} \ddot{x} = 2 \frac{\dot{x} \dot{y}}{y} \\ \ddot{y} = \frac{\dot{y}^2 - \dot{x}^2}{y} \end{cases} \quad \circ = \frac{d}{dt}$$

ora  $\frac{d^2 y}{dx^2} = \frac{d}{dx} \left( \frac{dy}{dx} \right) = \frac{d}{dx} \left( \underbrace{\frac{dy}{dt}}_y \frac{dt}{dx} \right) = \frac{d}{dx} \left( \frac{\dot{y}}{\dot{x}} \right) =$

$$= \frac{d}{dt} \left( \frac{\dot{y}}{\dot{x}} \right) \cdot \underbrace{\frac{dt}{dx}}_{\frac{1}{\dot{x}}} = \frac{\ddot{y} \dot{x} - \dot{y} \ddot{x}}{\dot{x}^3} = \quad (\text{da } (*))$$

$$= \frac{\frac{\dot{y}^2 - \dot{x}^2}{y} \dot{x} - \dot{y} \frac{2\dot{x}\dot{y}}{y}}{\dot{x}^3} = \frac{1}{y} \frac{\dot{y}^2 \dot{x} - \dot{x}^3 - 2\dot{y}^2 \dot{x}}{\dot{x}^3}$$

$$= \frac{1}{y} \left( \frac{-\dot{y}^2 \dot{x} - \dot{x}^3}{\dot{x}^3} \right) = -\frac{1}{y} \left( \left( \frac{\dot{y}}{\dot{x}} \right)^2 + 1 \right) = -\frac{1}{y} (y'^2 + 1)$$

Dimostrare

$$\frac{d^2 y}{dx^2} = y'' = -\frac{1}{y} (y'^2 + 1) \Rightarrow$$

$$y y'' + y'^2 = -1 \Rightarrow$$

$$(y y')' = -1 \Rightarrow y y' = -x + A \quad (\diamond)$$

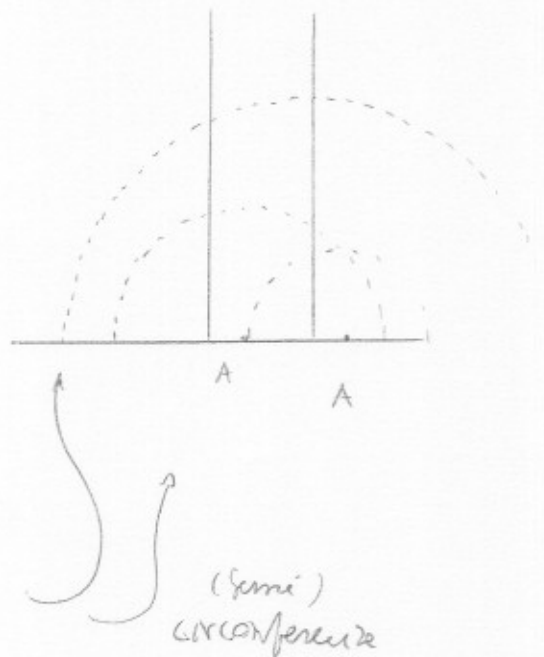
$$y dy = (-x + A) dx$$

$$\frac{1}{2} d(y^2) = (-x + A) dx$$

$$y^2 = -x^2 + 2Ax + B$$

$$\Rightarrow x^2 + y^2 - 2Ax - B = 0$$

$$(x - A)^2 + y^2 = A^2 + B$$



Se  $\dot{x} = 0$  è  $x = C_1 \Rightarrow$  (semi) rette verticali.

Curvatura del primo iperbolico

$y > 0$

$$K = -\frac{1}{2\lambda} \Delta \log \lambda$$

$$\lambda = \frac{1}{y^2}$$

$$\log \lambda = -2 \log y$$

$$\frac{\partial}{\partial x} (\log \lambda) = 0$$

$$\Delta \log \lambda = -2 \frac{\partial^2}{\partial y^2} \log y =$$

$$= -2 \frac{\partial}{\partial y} \left( \frac{1}{y} \right) = +2 y^{-2}$$

$$K = -\frac{2 y^{-2}}{2 y^{-2}} = -1$$

\* Variante (Eq. di Lagrange)

$\gamma = \frac{d}{ds}$  lunghezza d'arco  
[ iperbolica! ]

$$L = \frac{1}{2} \frac{1}{y^2} (x'^2 + y'^2)$$

[ cf. il teorema di Ekeland una "simmetria" di luogo ad un principio di conservazione ]

da  $\frac{\partial L}{\partial x} = 0$  si ha  $\frac{\partial L}{\partial x'} = \frac{x'}{y^2} = C$  (cost.)

invarianta per traslazioni  $x \rightarrow x+a$

possiamo, per fixare le idee

$$x' = y^2$$

se  $C=0$   
troviamo  
 $x' = 0$   
 $x = \text{cost}$   
 $\Rightarrow$  (lemi) rette verticali

si ha pure (da  $g_{ij} \dot{x}_i \dot{x}_j = 1$ )  
"cons. dell'energia"

$$\frac{1}{y^2} (x'^2 + y'^2) = 1$$

$$x'^2 + y'^2 = y^2 \Rightarrow$$

$$y'^2 = y^2 - x'^2 = y^2 - y^4 = y^2(1-y^2)$$

$y > 0$

$$y' = \pm y \sqrt{1-y^2}$$

prendiamo il segno -

$$y' = -y \sqrt{1-y^2}$$

$$\begin{cases} x' = y^2 = \frac{dx}{ds} \\ y' = -y \sqrt{1-y^2} = \frac{dy}{ds} \end{cases}$$

$$\Rightarrow \frac{dy}{dx} = - \frac{\sqrt{1-y^2}}{y}$$

posto

$$y = \sin \xi \quad dy = \cos \xi d\xi$$

$$\frac{-y dy}{\sqrt{1-y^2}} = dx$$

$$\frac{-\sin \xi \cos \xi d\xi}{\cos \xi} = dx$$

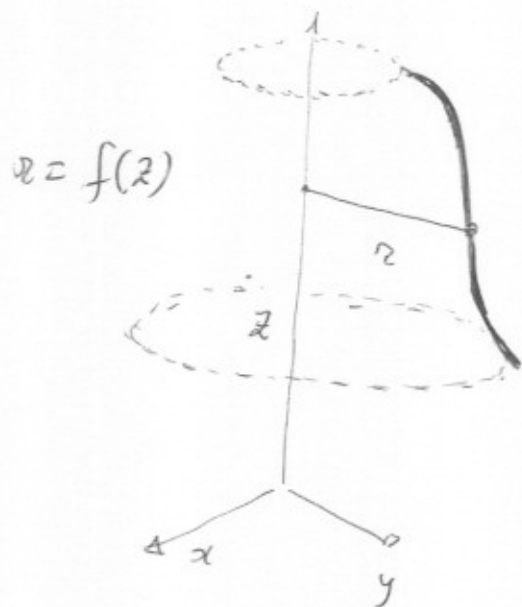
$$dx = -\sin \xi d\xi$$

$$\Rightarrow \begin{cases} x = \cos \xi + a \\ y = \sin \xi \end{cases}$$

$$(x-a)^2 + y^2 = 1$$

\* geodetiche sulle superficie di rivoluzione

discussione generale  
tramite le  
eq. di Lagrange



$$r^2 = x^2 + y^2$$

$$T = \frac{1}{2} (\dot{z}^2 + \dot{r}^2 + r^2 \dot{\phi}^2)$$

Energia  
cinetica

$$\begin{cases} x = r \cos \phi \\ y = r \sin \phi \\ z = z \end{cases} \quad \phi \in [0, 2\pi]$$

Coordinate cilindriche

Controllo:

$$\dot{x} = \dot{r} \cos \phi - r \sin \phi \dot{\phi}$$

$$\dot{y} = \dot{r} \sin \phi + r \cos \phi \dot{\phi}$$

$$\dot{x}^2 + \dot{y}^2 + \dot{z}^2 = \dot{z}^2 + \dot{r}^2 + r^2 \dot{\phi}^2$$

$$- 2r\dot{r}\sin\phi\cos\phi\dot{\phi}$$

$$+ 2r\dot{r}\sin\phi\cos\phi\dot{\phi}$$

$$\dot{r} = \frac{df}{dt} = \frac{df}{dz} \frac{dz}{dt} = f'(z) \dot{z}$$

$$= \bar{T} = \frac{1}{2} [f'(z)^2 + 1] \dot{z}^2 + f(z)^2 \dot{\phi}^2 \quad \text{"energia cinetica"}$$

L  
Lagrangiana

$$\frac{\partial \mathcal{L}}{\partial q_\alpha} - \frac{d}{dt} \frac{\partial \mathcal{L}}{\partial \dot{q}_\alpha} = 0$$

$\alpha = 1, \dots, n$

o  $\frac{\partial \mathcal{L}}{\partial q_\alpha} = 0$  ( $q_\alpha$  coordinata ciclica, o ignorabile)

$$\bar{e} \quad \frac{d}{dt} \frac{\partial \mathcal{L}}{\partial \dot{q}_\alpha} = 0$$

ovvero

$$\frac{\partial \mathcal{L}}{\partial \dot{q}_\alpha} = \text{costante}$$

(integrale primo)

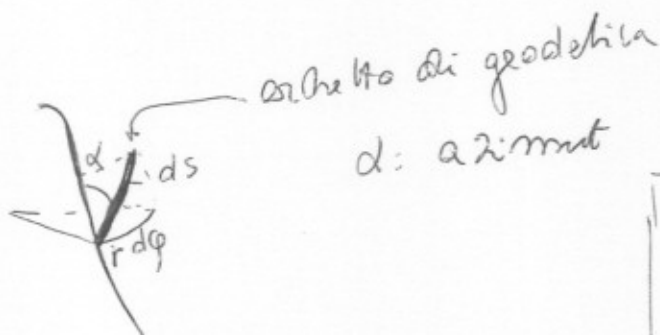
Nel nostro caso  $T$  non dipende da  $\varphi$ , sicché

$$\frac{\partial T}{\partial \dot{\phi}} = 2 f(z)^2 \dot{\phi} = \text{cost.}$$

$$f(z)^2 \dot{\phi} = \text{cost}$$

$$r^2 \dot{\phi}$$

conservazione  
della componente  
 $z$  del  
momento angolare



$$dt = ds$$

$$\dot{\phi} = \frac{d\phi}{ds} = \frac{1}{r} \sin \alpha$$

$$r^2 d\phi = C ds$$

$$r (r d\phi) = C ds$$

$$r \sin \alpha ds = C ds$$

$\Rightarrow$

$$r \sin \alpha = C$$

↑  
rappio del parallelo

↖ azimut

teorema di  
Clairaut



\*\* L' Equazione geodetica (che non è necessario scrivere) si integra, in linea di principio, utilizzando

$T = h$  (cost) ← conservazione dell'energia (Lagrangiana)

$$(f'^2 + 1) \dot{z}^2 + k^2 f^{-2} = 2h$$

$$f^2 \dot{\phi} = k$$

$$f^4 \dot{\phi}^2 = k^2$$

(cons. della componente 2 del momento angolare)

$$\dot{\phi}^2 = f^2 \frac{k^2}{f^4} = k^2 f^{-2}$$

$$\dot{z}^2 = \frac{2h - k^2 f^{-2}}{f'^2 + 1}$$

$$= \frac{2h f^2 - k^2}{f^2 (f'^2 + 1)} \quad (2h f^2 - k^2 \geq 0)$$

$f > 0$

$$\frac{dz}{dt} = \pm \sqrt{\frac{2h f^2 - k^2}{f^2 (f'^2 + 1)}}$$

$$dt = \pm \sqrt{\frac{f^2 (f'^2 + 1)}{2h f^2 - k^2}} dz$$

$$\frac{d\phi}{dt} = \frac{k}{f^2}$$

$$d\phi = \frac{k}{f^2(t)} dt$$

$$\phi = \int \frac{k}{f^2(t)} dt + \dots$$

$2h = 1$

$k dt = ds$



$$t = \tau(z)$$

$$z = \tau^{-1}(t)$$

$$r = r(z) = f(z) = y(t)$$

$$\phi = \dots \Phi(t)$$

★ Le geodetiche danno luogo, localmente, alle curve di lunghezza minima congiungenti due pt. dati (suffic. vicini) ["minimizzano, localmente, il funzionale lunghezza"]

vediamo come:

in una porzione di superficie consideriamo una curva qualsiasi  $\mathcal{C}$ ; a partire dai pt. di  $\mathcal{C}$  spicchiamo



le geodetiche ortogonali a  $\mathcal{C}$ ; rispetto ad un opportuno parametro  $v^*$ , che può vedersi come un parametro su  $\mathcal{C}$ , esse saranno date da  $v^* = \text{cost.}$

consideriamo le loro traiettorie

ortogonali come curve  $u^* = \text{cost}$  ( $\mathcal{C}$  corrisponde a  $u^* = 0$ ) [ queste ultime non sono necessariamente geodetiche ]; in termini delle coordinate  $u^*$  e  $v^*$ ,

$$g_{12}^* \equiv F^* = 0 \quad (\text{ortogonalità}).$$

$$\text{Da } (R_g)_{v^* = \text{cost}} = - \frac{1}{\sqrt{E^*}} \frac{\partial}{\partial v^*} (\log \sqrt{E^*}) = 0$$

$\uparrow$   
 curvatura geodetica

$\frac{\partial}{\partial v^*}$   
 " " " "

( $v^* = \text{cost}$   
 sono geodetiche)

si ha  $E^* = g_{11}^*(u^*)$  (non dipende cioè da  $v^*$ )  
 ovvero, la lunghezza d'arco su una geodetica

Poniamo  $u = \int_0^{u^*} \sqrt{E^*} du^*, \quad v = v^*$

si ottengono nuovamente coordinate ortogonali, e, inoltre

$$ds^2 = du^2 + G(u, v) dv^2$$

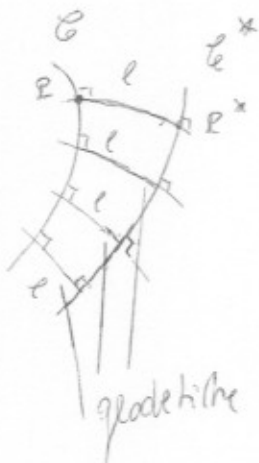
$$g_{22} = g = \det(I) = EG - F^2$$

" " " "

( in particolare  $K = -\frac{1}{\sqrt{g}} \frac{\partial^2 \sqrt{g}}{\partial u^2} \quad g = G$  )

Dalla formula precedente si ha ( Lemma di Gauss )

infatti, considerata  
la curva  $\tilde{c}^*$ , del  
tipo  $u = \text{cost.}$   
la lunghezza di  
un arco  
di geodetica  
 $\widehat{PP^*}$  è costante

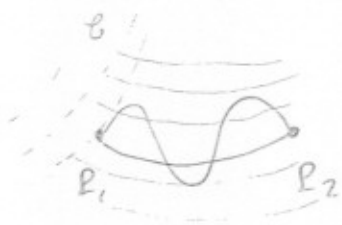


la curva  $\tilde{c}^*$  luogo dei punti  
sulle geodetiche emananti ortogonalmente  
da  $\tilde{c}$ . ad una distanza fissata  $l$   
(misurata tramite la metrica) è ancora  
ortogonale alle geodetiche ante.  
 $\tilde{c}^*$  è detto parallelo geodetico

In particolare un circhio geodetico  
è perpendicolare, in ogni suo punto,  
alla geodetica che va al pto di  
contatto



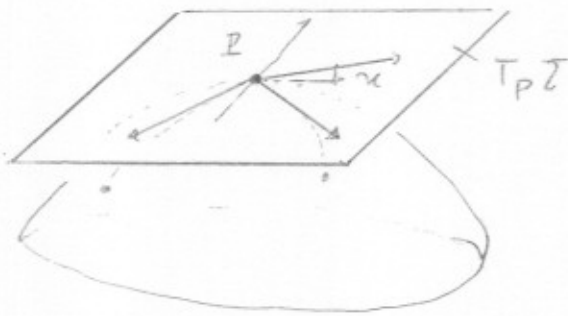
Se ora  $P_1$  e  $P_2$  sono punti di  $\mathbb{I}$  congiunti da  
una unica geodetica  $\gamma$ , e costruisco un sistema di  
coordinate geodetiche come sopra,  
per la lunghezza di un arco  $\gamma$   
congiungente  $P_1$  e  $P_2$  ho



$$l(\gamma) = \int_{t_1}^{t_2} \sqrt{\dot{u}^2 + \underbrace{g_{22}}_{=G} \dot{v}^2} dt$$

$$\geq \int_{t_1}^{t_2} \dot{u} dt = u_2 - u_1$$

e vale  $= G \iff \dot{v} = 0$ , cioè  
 $\gamma$  ha lo stesso sostegno della  
geodetica  $\widehat{P_1 P_2}$ .

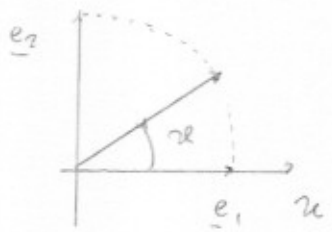


★ Applicazione,  
o mappa  
esponenziale

(.. al Biruni..)  
X-XI sec.



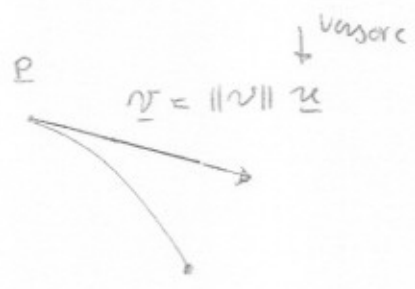
$$H(r, \vartheta) = \exp_P (r (\cos \vartheta \underline{e}_1 + \sin \vartheta \underline{e}_2)) \in \Sigma$$



[ per r suff piccolo i  
una deformazione ]

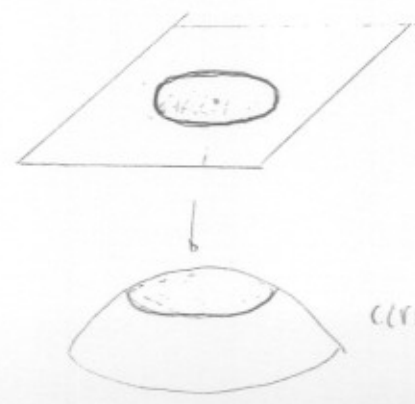
$$\exp_P \underline{v} := \gamma^{\underline{v}}(1) = \text{2° estremo dell'arco di geodetica uscente da } P \text{ con velocità } \underline{v}, \text{ per } s=1$$

(s : ascissa curvilinea)



$$= \gamma^{\underline{zeta}}(\|v\|)$$

(2° estremo dell'arco di geodetica uscente da P con velocità zeta (||zeta||=1), per s = ||v||)



$$C_r: \vartheta \mapsto H(r, \vartheta)$$

↑  
fisso

circonferenza geodetica di raggio r di centro P e raggio r

★ Teorema (Bertrand, Puiseux)

$$1. \quad L(C_r^P) = \underbrace{2\pi r}_{\substack{\text{l. circ.} \\ \text{euclidea}}} \left( 1 - \frac{K(P)}{6} r^2 + o(r^2) \right)$$

$$2. \quad A(\tilde{C}_r^P) = \underbrace{\pi r^2}_{\substack{\text{area} \\ \text{cirkolo} \\ \text{"euclidea"}}} \left( 1 - \frac{K(P)}{12} r^2 + o(r^2) \right)$$

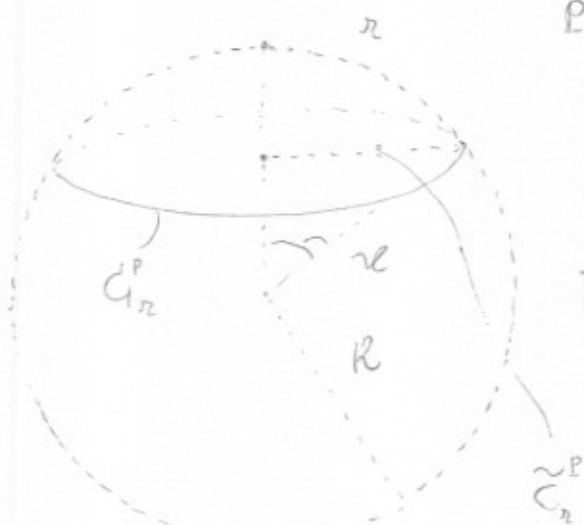
↑  
cirkolo geodesico

Dim. Diamo una dimostrazione (omettendo qualche dettaglio analitico) diretta, di tipo geometrico.

Approssimiamo  $Z$ , in un intorno di  $P$ , con una sfera (sfera osculatrice) tangente a  $Z$  in  $P$  e di raggio  $R$

con  $\frac{1}{R^2} = K(P)$

[Se  $K$  è negativo, si usa una pseudo-sfera.]



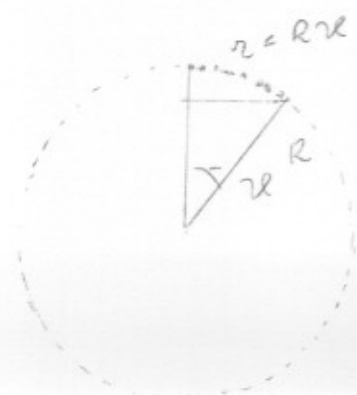
si ha:  $L(C_r^P) =$

$$2\pi R \sin \alpha = 2\pi R \sin \frac{r}{R} =$$

$$= 2\pi R \left[ \frac{r}{R} - \frac{1}{6} \left( \frac{r}{R} \right)^3 + \dots \right]$$

$$= 2\pi r - 2\pi R \cdot \frac{1}{6} \frac{r^3}{R^3} \cdot \frac{1}{R^2} + \dots$$

$\underbrace{\frac{1}{R^2}}_{=K(P)}$



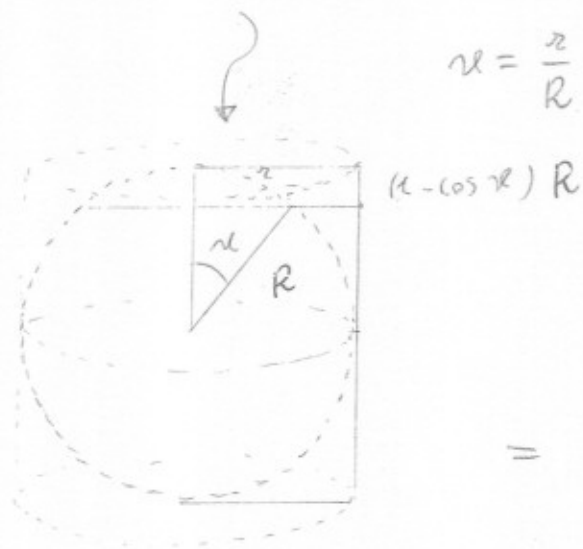
$$= 2\pi r - 2\pi r \cdot \frac{r^2}{6} \cdot K(E) + \dots$$

$$= 2\pi r \left( 1 - \frac{K(E)}{6} r^2 + \dots \right) \quad \text{che è la } t.$$

Allo stesso modo,  $A(\tilde{C}_r^E) = \text{area calotta sferica}$

$$= \int_0^r \left( \int_0^{2\pi} \sin \vartheta \, d\varphi \right) d\vartheta = 2\pi R^2 (1 - \cos \vartheta)$$

(cf. anche il teor. di Archimede)



$$r = \frac{r}{R} \quad 2\pi R^2 \left( \frac{r^2}{2} - \frac{r^4}{4!} + \dots \right)$$

$$= 2\pi R^2 \left( \frac{r^2}{2R^2} - \frac{r^4}{4!R^4} + \dots \right)$$

$$= \pi r^2 \left[ 1 - \frac{1}{12} r^2 \cdot \frac{1}{12^2} + \dots \right]$$

$\underbrace{\hspace{10em}}_{K(E)}$

$$= \pi r^2 \left[ 1 - \frac{K(E)}{12} r^2 + \dots \right], \quad \text{il che prova 2.}$$

\* Lemma tecnico in coordinate geodetiche polari  $(\rho, \vartheta)$

$$\lim_{\rho \rightarrow 0} \sqrt{G} = 0$$

$$\lim_{\rho \rightarrow 0} \frac{\partial(\sqrt{G})}{\partial \rho} = 1$$

$$E = 1$$

$$G = G(\rho, \vartheta)$$

Dice. in coordinate normali  $\left\{ \begin{array}{l} u^* = \rho \cos \vartheta \\ v^* = \rho \sin \vartheta \end{array} \right.$

$$\sqrt{EG - F^2} = \sqrt{E^*G^* - F^{*2}} \cdot \frac{\partial(u^*, v^*)}{\partial(\rho, \vartheta)}$$

$$\Rightarrow \sqrt{G} = \rho \sqrt{E^*G^* - F^{*2}}$$

ora, in  $P$  ( $\rho=0, \vartheta$  arbitr.)  $E^* = G^* = 1, F^* = 0$

$$\Rightarrow \lim_{\rho \rightarrow 0} \sqrt{G} = 0 \quad \text{e} \quad \lim_{\rho \rightarrow 0} \frac{\sqrt{G}}{\rho} = 1$$

utilizzeremo ciò nel discutere la diffusione delle geodetiche (approccio locale)

La lunghezza di un arco  $\rho = \rho(t)$ , in coord. polari è

$$L(\rho) = \int_{\vartheta_1}^{\vartheta_2} \sqrt{G} d\vartheta \quad ; \quad \text{successivamente è}$$

$$= \vartheta_2 - \vartheta_1$$

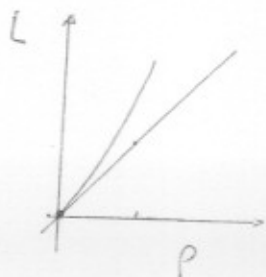


$$l = \frac{d}{d\rho}$$

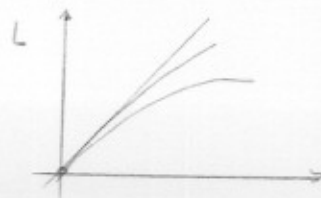
$$L'(\rho) = \int_{\vartheta_1}^{\vartheta_2} \frac{\partial}{\partial \rho} (\sqrt{G}) d\vartheta,$$

$$L''(\rho) = \int_{\vartheta_1}^{\vartheta_2} \frac{\partial^2}{\partial \rho^2} (\sqrt{G}) d\vartheta$$

$$= -K \sqrt{G}$$



$K < 0$   
le geod. si allontanano



$K > 0$   
inizialmente si allontanano;  
possono avvicinarsi

non è la dist. tra A e B in que.

Conseguenza: il flusso geodetico su una superficie a curvatura negativa è caotico (ovvero, si ha dipendenza sensibile dalle condizioni iniziali).



\* Conseguenza remota: d'impossibilità di predizioni meteorologiche precise di lungo termine.

Ipotesi della dinamica dell'atmosfera costituiscono i pt di una varietà riemanniana di dimensione infinita, e la dinamica può interpretarsi come flusso geodetico di una corta metrica. Tale varietà ha curvatura (sezionale) generalmente negativa (V. I. Arnold)



# 1. Teorema di Minding

Dici. Partiamo da

$$(\sqrt{g})_{pp} + \underset{\substack{\uparrow \\ \text{costante}}}{K} \sqrt{g} = 0 \quad (\text{coord. polari})$$

e ricordiamo che (\*)  $\lim_{\rho \rightarrow 0} \sqrt{g} = 0$  ,  $\lim_{\rho \rightarrow 0} (\sqrt{g})_{\rho} = 1$

Abbiamo tre casi:

1.  $K = 0$       $\sqrt{g} = \rho + f(\vartheta)$  , ma da (\*) si ha  $f(\vartheta) \equiv 0$

$\Rightarrow E = 1, F = 0, g(\rho, \vartheta) = \rho^2$       $ds^2 = d\rho^2 + \rho^2 d\vartheta^2$   
piatto

2.  $K > 0$

$$\sqrt{g} = A(\vartheta) \cos(\sqrt{K} \rho) + B(\vartheta) \sin(\sqrt{K} \rho)$$

ma (\*) implica  $A(\vartheta) \equiv 0$  e (\*\*) dà  $B(\vartheta) = \frac{1}{\sqrt{K}}$

$\Rightarrow E = 1, F = 0, g = \frac{1}{K} \sin^2(\sqrt{K} \rho) \Rightarrow$  loc. sfera di raggio  $\frac{1}{\sqrt{K}}$

3.  $K < 0$       $\sqrt{g} = A(\vartheta) \cosh(\sqrt{-K} \rho) + B(\vartheta) \sinh(\sqrt{-K} \rho)$

$\Rightarrow E = 1, F = 0, g = -\frac{1}{K} \sinh^2(\sqrt{-K} \rho)$   
 $\Rightarrow$  loc. pseudosfera